

## Original article

## Investigation of Photochemical Oxidation Efficiency Process Using $H_2O_2$ (UV/ $H_2O_2$ ) in Mineralization of 4-Chlorophenol IN Aqueous Environment

Majid Kermani<sup>1</sup>Ali Esrafil<sup>2</sup>Roghaye Piri<sup>3</sup>Seyedeh Nastaran Asadzadeh<sup>4\*</sup>

- 1- Associate Professor, Department of Environmental Health Engineering, School of Public Health, Iran University of Medical Sciences, Tehran, Iran
- 2- Assistant Professor, Department of Environmental Health Engineering, School of Public Health, Iran University of Medical Sciences, Tehran, Iran
- 3- Ph.D student of Environmental Health Engineering, Faculty of Health, Kerman University of Medical Sciences, Kerman, Iran
- 4- MSc in Environmental Engineering, Faculty of Electrical, Computer, and Environmental Health engineering, Islamic Azad University, West Tehran Branch, Tehran, Iran

**\*Corresponding author:** Seyedeh Nastaran Asadzadeh, Faculty of Health, Kerman University of Medical Sciences, Kerman, Iran

**Email:** snasadzadeh3@gmail.com

**Received:** 21 July 2018

**Accepted:** 21 September 2018

### ABSTRACT

**Introduction and purpose:** Chlorophenol is known as one of the toxic and dangerous pollutants in industrial wastewaters that's a essential to it's removal from industrial wastewaters and ground waters. The aim of this study was to investigate the efficiency of 4-Chlorophenol (4-CP) degradation using Ultraviolet/Hydrogen Peroxide process (UV/ $H_2O_2$ ).

**Methods:** The variables of the present study included initial concentration of pollutant, contact time, pH, and  $H_2O_2$  concentration on 4-Chlorophenol removal on a laboratory scale. The concentration of residual 4-Chlorophenol was determined using UV/Visible at a wavelength of 280nm. In addition, the amount of mineralization in optimal conditions was evaluated using the measurement of total organic carbon (TOC) removal range according to the standard method 5310- B. Synthetic models of the process were also investigated.

**Results:** The optimum removal efficiency of 4-CP by UV/ $H_2O_2$  process regarding the concentration of hydrogen peroxide was 580 mg/L. pH of 3 and initial 4-CP concentration was obtained as 380 mg/L, and the presence of UV rays with a wavelength of 254 nm during 30m contact was 84.92% . In addition, 84.69% of the TOC was removed under the optimal condition. Moreover ,it was found that the data followed the first-order synthetic models.

**Conclusion:** Considering the growing use of UV radiation in water treatment processes and the considerable efficiency of UV/  $H_2O_2$  process in removing 4-CP, this method can be proposed for the elimination of 4-CP after performing cost-benefit analyses. It can be concluded that with regard to purification goals and standards for wastewater treatment, UV/  $H_2O_2$  process can be used as a pre or final treatment.

**Keywords:** Degradation, Hydroxyl radicals, 4-Chlorophenol, Mineralization, UV/ $H_2O_2$  process

► **Citation:** Kermani M, Esrafil A, Piri R, Asadzadeh SN. Investigation of Photochemical Oxidation Efficiency Process Using  $H_2O_2$  (UV/ $H_2O_2$ ) in Mineralization of 4-Chlorophenol IN Aqueous Environment. Journal of Health Research in Community. Summer 2018;4(2): 1-13.

## مقاله پژوهشی

## بررسی کارایی فرایند اکسیداسیون فتوشیمیایی بر پایه پراکسید هیدروژن ( $UV/H_2O_2$ ) در معدنی‌سازی ۴-کلروفنل از محیط‌های آبی

## چکیده

**مقدمه و هدف:** کلروفنل از جمله آلانینده‌های سمی و خطرناک در پساب و فاضلاب‌های صنعتی می‌باشد که حذف آن از فاضلاب صنعتی و آب زیرزمینی ضروری است. در این ارتباط، مطالعه حاضر با هدف بررسی کارایی میزان تجزیه‌پذیری ۴-کلروفنل با استفاده از فرایند  $UV/H_2O_2$  (Ultraviolet/Hydrogen Peroxide) انجام شد.

**روش کار:** در مطالعه حاضر اثر متغیرها شامل: غلظت اولیه آلانینده، زمان تماس، pH و غلظت  $H_2O_2$  بر حذف ۴-کلروفنل در مقیاس آزمایشگاهی مورد بررسی قرار گرفت و غلظت ۴-کلروفنل باقی‌مانده با استفاده از دستگاه UV/Visible در طول موج ۲۸۰ نانومتر اندازه‌گیری شد. علاوه‌براین، میزان معدنی‌سازی در شرایط بهینه از طریق سنجش میزان حذف TOC (Total Organic Carbon) مطابق با روش ۵۳۱۰B استاندارد اندازه‌گیری گردید. مدل‌های سینتیکی فرایند نیز مورد بررسی قرار گرفت.

**یافته‌ها:** در این مطالعه بازده بهینه حذف ۴-کلروفنل توسط فرایند  $UV/H_2O_2$  در غلظت پراکسید هیدروژن ۵۸۰ میلی‌گرم بر لیتر،  $pH=3$ ، غلظت اولیه ۴-کلروفنل ۳۸۰ میلی‌گرم بر لیتر و حضور اشعه UV با طول موج ۲۵۴ نانومتر در زمان تماس ۳۰ دقیقه معادل  $84/92$  درصد بدست آمد. علاوه‌براین، در شرایط بهینه  $84/69$  درصد از کل کربن آلی حذف گردید. شایان ذکر است که داده‌ها از مدل سینتیکی درجه اول کاذب تعیت داشتند.

**نتیجه‌گیری:** با توجه به افزایش استفاده از اشعه فرابنفش در فرایندهای تصفیه آب و بازده قابل قبول فرایند  $UV/H_2O_2$  برای حذف آلانینده ۴-کلروفنل، پس از آتانیزهای سود-هزینه، استفاده از این روش برای حذف ۴-کلروفنل پیشنهاد می‌شود. بر مبنای نتایج، فرایند  $UV/H_2O_2$  با درنظرداشتن اهداف تصفیه و استانداردهای موجود جهت تخلیه پساب می‌تواند به عنوان پس‌تصفیه و یا تصفیه نهایی پساب به کار گرفته شود.

**کلمات کلیدی:** تجزیه، رادیکال هیدروکسیل، ۴-کلروفنل، معدنی‌سازی

مجید کرمانی<sup>۱</sup>  
علی اسرافیلی<sup>۲</sup>  
رقیه پیری<sup>۳</sup>

\*سیده نسترن اسدزاده<sup>۴</sup>

- دانشیار، گروه مهندسی پهادشت محیط، دانشکده پهادشت، دانشگاه علوم پزشکی ایران، تهران، ایران
- دانشیار، گروه مهندسی پهادشت محیط، دانشکده پهادشت، دانشگاه علوم پزشکی ایران، تهران، ایران
- کارشناسی ارشد مهندسی محیط زیست، دانشکده برق، کامپیوتر و محیط زیست، دانشگاه آزاد اسلامی واحد تهران غرب، تهران، ایران
- دانشجوی دکترای تخصصی پهادشت محیط، دانشکده پهادشت، دانشگاه علوم پزشکی کرمان، کرمان، ایران

\* نویسنده مسئول: سیده نسترن اسدزاده، انشکده پهادشت، دانشگاه علوم پزشکی کرمان، کرمان، ایران

Email: snasadzadah3@gmail.com

تاریخ دریافت: ۱۳۹۷/۰۴/۳۰  
تاریخ پذیرش: ۱۳۹۷/۰۶/۳۰

◀ استناد: کرمانی، مجید؛ اسرافیلی، علی؛ پیری، رقیه؛ اسدزاده، سیده نسترن. بررسی کارایی فرایند اکسیداسیون فتوشیمیایی بر پایه پراکسید هیدروژن ( $UV/H_2O_2$ ) در معدنی‌سازی ۴-کلروفنل از محیط‌های آبی. مجله تحقیقات سلامت در جامعه، تابستان ۱۳۹۷(۴): ۱-۱۳.

## مقدمه

با گسترش روزافرون صنایع و افزایش آلودگی‌های ناشی از آن، توجه به مسئله حفظ محیط زیست و کنترل آلانینده‌ها

جدول ۱: مشخصات فیزیکی و شیمیایی ۴-کلروفتل در شرایط استاندارد (۱ کیلو پاسکال؛ ۲۵ درجه سانتی گراد)

$\text{C}_6\text{H}_5\text{ClO}$	فرمول شیمیایی
جامد	حالت ماده
۱۲۸/۵۶ گرم در مول	وزن مولکولی
۴۳/۲ درجه سانتی گراد	نقطه ذوب
۱/۲۶۵ گرم بر سانتی متر مکعب	دانسیته
زرد	رنگ

سازمان حفاظت از محیط زیست آمریکا (ESEPA) حد مجاز فتل موجود در آب‌های سطحی و حد مجاز غلظت فتل در فاضلاب صنایع قبل از تخلیه به محیط زیست را به ترتیب ۰/۰۰۱ و ۱ میلی گرم بر لیتر اعلام نموده است [۱۲]. فرایندهای اکسیداسیون پیشرفتی یکی از مؤثرترین و کارآمدترین فناوری‌ها برای تجزیه و حذف آلاینده‌های آلی خطرناک، مقاوم و غیرقابل تجزیه بیولوژیکی از محیط‌های آبی می‌باشد که در طول چند دهه گذشته در سطح وسیعی مورد استفاده قرار گرفته‌اند و جایگاه مهمی را در تصفیه آب و فاضلاب کسب نموده‌اند. مکانیسم اصلی این فرایند براساس تولید رادیکال هیدروکسیل است که یک عامل اکسیدکننده بسیار قوی و کارآمد بوده و تقریباً از توانایی اکسیداسیون بیشتر ترکیبات آلی (به سرعت و غیرگزینشی) به دی‌اکسیدکربن، آب و اسیدهای آلی برخوردار می‌باشد. به طور کلی، معمولی‌ترین فرایندهای اکسیداسیون پیشرفتی که در حذف آلاینده‌های آلی به کار رفته‌اند و به طور عمده در مقیاس آزمایشگاهی و پایلوت مورد ارزیابی قرار گرفته‌اند، عبارت هستند از: فتوالیز تحت تابش فرابنفش، ترکیبی از هیدروژن پراکسید، ازن و تابش اشعه فرابنفش، فتوکاتالیستی هموژنیک با فتوکاتالیستی هتروژنیک با مواد نیمه‌هادی مانند دی‌اکسید تیتانیوم و سونولیز تحت تابش امواج اولتراسوند [۱۳-۱۵].

بیش از پیش احساس می‌گردد. در حال حاضر، صنایع علت اصلی آلودگی قسمت وسیعی از منابع آبی مختلف در کره زمین به شمار می‌آیند [۱]. در بین ترکیبات شیمیایی موجود در پساب‌های صنعتی، ترکیبات فنلی (فنل و مشتقات آن) یکی از ترکیبات فراگیری است که علاوه بر روش‌های مصنوعی، از طریق طبیعی نیز وارد منابع آب می‌شود [۲]. فنل یا هیدروکسی بتنز به عنوان یکی از آروماتیک‌های سمی در آب و فاضلاب از مهم‌ترین آلاینده‌های آلی محسوب می‌شود. این ماده از طریق دفع پساب تعدادی از صنایع مانند زغال سنگ، ککسازی، پتروشیمی، علف‌کش‌ها و حشره‌کش‌ها، حلال‌ها و رزین به محیط زیست وارد شده و سبب ایجاد آلودگی بهویژه در منابع آبی می‌گردد [۳]. این ترکیبات به دلیل ساختمان فیزیکی در بیشتر ترکیبات شیمیایی و حتی در فاضلاب‌های شهری نیز وجود دارند و به دلیل پایداری در محیط، قابلیت اتحال در آب و مشکلات بهداشتی مورد توجه هستند [۴]. سازمان حفاظت از محیط زیست (EPA: Environmental Protection Agency) این ترکیبات را در گروه آلاینده‌های متقدم (دارای اولویت بالا) قرار داده است [۲]. ۴-کلروفتل با فرمول شیمیایی  $\text{C}_6\text{H}_5\text{ClO}$  یکی از انواع کلروفنلهایی می‌باشد که به دلیل اینکه در آن کلر جایگزین هیدروژن شماره ۴ در حلقه بتنزی فنل شده است، به نام‌های ۴-کلروفتل و یا کلرو-۴-هیدروکسی بتنز در بازار موجود می‌باشد [۵-۷]. ویژگی‌های فیزیکی و شیمیایی ۴-کلروفتل در جدول ۱ نشان داده شده است [۵].

این آلاینده به وسیله پوست، تنفس و گوارش وارد بدن می‌شود و منجر به آسیب به مجاری تنفسی، سیستم اعصاب مرکزی، سیستم ایمنی، آسیب‌های ذهنی، آسیب به کبد، کلیه و خون، استفراغ و کم‌اشتهایی می‌گردد [۸-۱۱]. بر این اساس، پژوهشگران حد مجاز فتل موجود در آب آشامیدنی را ۰/۰۰۱ میلی گرم بر لیتر برآورد نموده‌اند [۱۱].

۱۰۰ میلی گرم بر لیتر، pH=۳-۴ و زمان تماس ۳۰ دقیقه به راندمان حذف ۹۶ درصد دست یافتند [۲۱].

با توجه به مصرف گستردۀ ۴-کلروفنل در صنایع و آلدگی احتمالی آب‌های سطحی و زیرزمینی و نیز از آنجایی که تاکنون پژوهشی در ارتباط با تجزیه و معدنی‌سازی این آلاینده با استفاده از فرایند UV/H<sub>2</sub>O<sub>2</sub> صورت نگرفته است، در مطالعه حاضر کارایی حذف ۴-کلروفنل با استفاده از فرایند اکسیداسیون فتوشیمیایی بر پایه پراکسید هیدروژن مورد بررسی قرار گرفت.

## روش کار

پژوهش مقطعی حاضر از نوع مطالعات تجربی در مقیاس آزمایشگاهی بود و در آزمایشگاه پایلوت دانشگاه آزاد اسلامی واحد غرب تهران انجام شد. در این پژوهش اثر پارامترهای مانند غلظت پراکسید هیدروژن، pH محلول، غلظت اولیه ۴-کلروفنل و زمان تماس بر کارایی حذف بررسی گردید. سینتیک تجزیه ۴-کلروفنل نیز مورد مطالعه قرار گرفت.

### راکتور مورد استفاده

برای انجام این پژوهش یک دستگاه راکتور استوانه‌ای شکل حاوی یک عدد لامپ فرابنفش جیوهای باشد ۵۰۰۰۰ میکرووات در ثانیه بر سانتی‌متر مربع و طول موج ۲۵۴ نانومتر با روکش محافظ استیل که در داخل مخزنی از جنس پلی‌اتیلن به حجم ۱/۵ لیتر قرار داشت، مورد استفاده قرار گرفت.

### روش انجام کار

حجم نمونه با استفاده از روش One Factor at the Time تعیین گردید و آزمایشات با دو بار تکرار انجام شدند. محلول مادر ۴-کلروفنل مورد مطالعه (۱۲۸/۵۶ میلی گرم بر لیتر) با استفاده از حل کردن ۱۲۸/۵۶ گرم ۴-کلروفنل در یک لیتر آب م قطر تهیه

فرایند فتولیز فراینده است که طی آن فوتون‌ها به وسیله ترکیبات جذب می‌شوند و انرژی آزادشده صرف پیشبرد فرایندهای اکسیداسیون و احیا می‌گردد. پرتو فرابنفش بخشی از پرتو الکترومنغناطیسی است که محدوده طول موج آن ۴۰۰-۱۰۰ نانومتر می‌باشد. یکی از ویژگی‌های اصلی پرتو فرابنفش این است که فوتون‌های مربوط به طول موج این پرتو از انرژی کافی برای ایجاد حالت الکترونیکی برانگیخته در بیشتر اتم‌ها یا مولکول‌ها برخوردار می‌باشند. باید خاطرنشان ساخت که حالت برانگیخته معمولاً ناپایدار بوده و در برگشت به حالت کم انرژی‌تر، انرژی آزادشده می‌تواند موجب پیشبرد واکنش‌های شیمیایی گردد [۱۶، ۱۷].

استفاده از اشعه فرابنفش به همراه یک ماده اکسیدکننده مناسب مانند H<sub>2</sub>O<sub>2</sub> روش مناسبی برای حذف آلاینده‌های آلی مقاوم در برابر تجزیه بیولوژیکی مانند علف‌کش‌ها می‌باشد. جذب فوتون توسط مولکول H<sub>2</sub>O<sub>2</sub> آن را به دو رادیکال هیدروکسیل تفکیک می‌کند. این رادیکال‌ها از طریق گرفتن هیدروژن قادر هستند به مولکول‌های آلی حمله کنند و تحت شرایط عملیاتی مناسب، محصولات نهایی آب، دی‌اکسید کربن و اکسیدهای معدنی را تولید نمایند [۱۸]. در سال‌های اخیر پژوهشگران بسیاری حذف آلاینده فنل و مشتقات آن با استفاده از فرایند فتوکاتالیستی را مطالعه نموده‌اند. همچنین، برخی از پژوهشگران به بررسی میزان حذف فنل با استفاده از پوست سبز گردو در محیط آبی پرداخته و نشان داده‌اند که حذف فنل به میزان ۹۹/۹ درصد در شرایط آزمایشی رخ می‌دهد [۱۹].

Gaya و همکاران در مطالعه‌ای در سال ۲۰۰۹ با استفاده از فرایند UV/ZnO به بررسی تجزیه فتوکاتالیستی ۴-کلروفنل پرداختند که بالاترین راندمان حذف در مدت زمان سه ساعت با غلظت ۵۰ میلی گرم بر لیتر آلاینده به دست آمد [۲۰]. ملکوتیان و همکاران نیز در سال ۱۳۹۰ به بررسی حذف فنل با استفاده از فرایند فنتون پرداختند که در شرایط بهینه با غلظت فنل

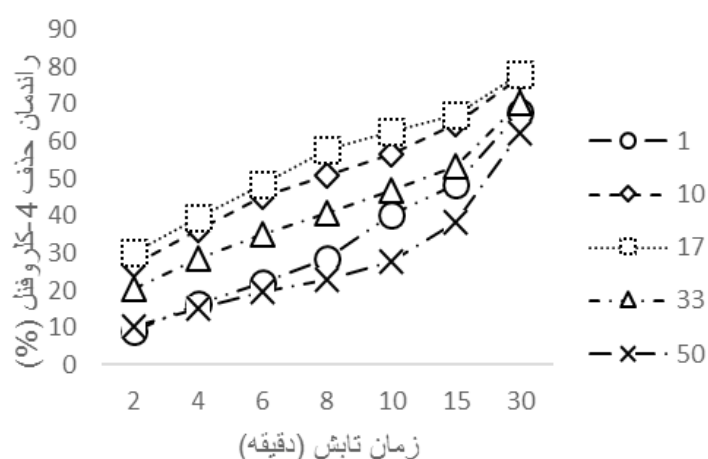
نتایج حاصل از آنالیز نمونه‌های جمع‌آوری شده و سایر پارامترهای اندازه‌گیری به کمک نرم‌افزار Excel تجزیه و تحلیل گردیدند. سیستیک تجزیه ۴-کلروفنل در شرایط بهینه به دست آمده نیز مورد بررسی قرار گرفت.

### یافته‌ها

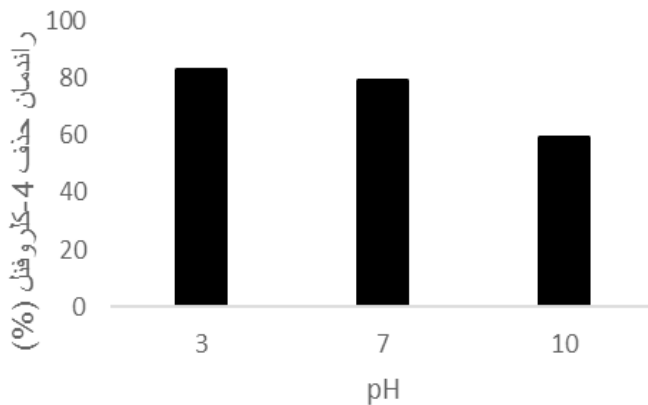
تأثیر غلظت‌های مختلف پراکسید هیدروژن به منظور بررسی تأثیر غلظت‌های مختلف پراکسید هیدروژن، این ماده در غلظت‌های ۳۴، ۳۴۰، ۵۸۰، ۱۱۲۰ و ۱۷۰۰ میلی‌گرم بر لیتر به محلول با غلظت ۶۴۰ میلی‌گرم بر لیتر ۴-کلروفنل در pH طبیعی (pH=۸/۵) افزوده شد. شایان ذکر است که افزایش غلظت پراکسید هیدروژن باعث افزایش راندمان فرایند فتولیز می‌شود؛ اما این افزایش تا حد معینی (۵۸۰ میلی‌گرم بر لیتر) است؛ بنابراین مقدار بهینه پراکسید هیدروژن در فرایند UV/H<sub>2</sub>O<sub>2</sub> برای محلول فوق ۵۸۰ میلی‌گرم بر لیتر می‌باشد.

در نمودار ۱ در ارتباط با فرایند UV/H<sub>2</sub>O<sub>2</sub> مشاهده می‌شود که

شد. سپس از محلول مادر، محلول واسطه ۳۸ میلی‌گرم بر لیتر و از آن، محلول‌های استاندارد ۰/۰۶۴، ۰/۶۴ و ۰/۹۶۴ میلی‌گرم بر لیتر برای انجام آزمایش تهیه گردیدند. لازم به ذکر است که میزان pH با استفاده از دستگاه pH متر (مدل Crison)، ساخت کشور اسپانیا) و اضافه کردن اسید سولفوریک و سدیم هیدروکسید ۰/۱ نرمال در مقادیر ۳، ۷ و ۱۰ تنظیم شد. براساس مطالعات صورت گرفته، ابتدا غلظت پراکسید هیدروژن (مدل ۳۴۰، ۳۴، ۵۸۰، ۱۱۲۰ و ۱۷۰۰ میلی‌گرم بر لیتر)، سپس pH (۳ و ۷ و ۱۰)، غلظت اولیه آلاندنه (۶۴، ۱۲۸، ۱۹۰، ۳۸۰ و ۶۴۰ میلی‌گرم بر لیتر) و در نهایت میزان معدنی سازی در شرایط بهینه به دست آمده در زمان‌های تماس ۲، ۴، ۶، ۱۰، ۱۵ و ۳۰ دقیقه سنجیده شد. باید عنوان نمود که غلظت ۴-کلروفنل ورودی و خروجی توسط دستگاه اسپکتروفوتومتر UV-Visible (مدل 80 T+)، ساخت کشور ژاپن در طول موج ۲۸۰ نانومتر قرائت گردید [۲۲-۲۴]. تعیین میزان معدنی سازی نیز با استفاده از روش ذکر شده در روش استاندارد با استفاده از دستگاه TOC-L Shimatzu (مدل TOC Analayzer) انجام شد [۲۲]. در نهایت، داده‌های به دست آمده از مراحل گوناگون آزمایش‌ها و



نمودار ۱: مقایسه سرعت واکنش تجزیه غلظت نسبی ۴-کلروفنل با استفاده از فرایند UV/H<sub>2</sub>O<sub>2</sub>  
(غلظت‌های اولیه مختلف H<sub>2</sub>O<sub>2</sub>: غلظت ۶۴۰ میلی‌گرم بر لیتر؛ pH طبیعی = ۸/۵)



نمودار ۲: راندمان حذف ۴-کلروفنل با استفاده از فرایند UV/H<sub>2</sub>O<sub>2</sub> در pH مختلف پس از زمان تابش ۳۰ دقیقه (غلظت ۴-کلروفنل = ۶۴۰ میلی گرم بر لیتر؛ H<sub>2</sub>O<sub>2</sub> = ۵۸۰ میلی گرم بر لیتر)

pH و زمان تابش ۳۰ دقیقه تماس داده شد. با توجه به شکل مشاهده می‌گردد که با افزایش غلظت آلائیند و ثابت‌ماندن مقدار و سایر شرایط، میزان حذف ۴-کلروفنل به طور قابل ملاحظه‌ای کاهش یافته است (نمودار ۳).

**بررسی سینتیک تجزیه ۴-کلروفنل**  
در این مرحله مدل‌های سینتیکی درجه صفر، اول و دوم بررسی شدند که نتایج حاصل از آن در نمودار ۴ ارائه شده است. بر مبنای نتایج، سینتیک تجزیه ۴-کلروفنل از سینتیک درجه یک کاذب پیروی کرده و ثابت سرعت واکنش در شرایط بهینه ۰/۰۳۹۸ دقیقه می‌باشد. شایان ذکر است که ملاک انتخاب مناسب‌ترین و مطابق‌ترین مدل، ضریب رگرسیون خطی می‌باشد.

#### بررسی میزان معدنی‌سازی محلول

در این مرحله میزان حذف TOC تحت شرایط بهینه و پس از پایان زمان واکنش (۳۰ دقیقه) مورد سنجش قرار گرفت. مقدار TOC در ورودی راکتور حاوی غلظت ۳۸۵/۶۸ میلی گرم بر لیتر ۴-کلروفنل در شرایط بهینه ۱۴۷/۳ میلی گرم بر لیتر بود که پس از

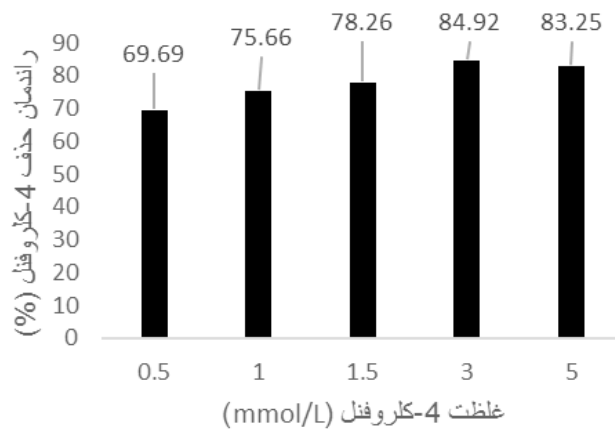
با افزایش زمان تماس، بازده حذف آلائیند در تمامی غلظت‌های پراکسید هیدروژن افزایش یافته است.

#### تأثیر pH

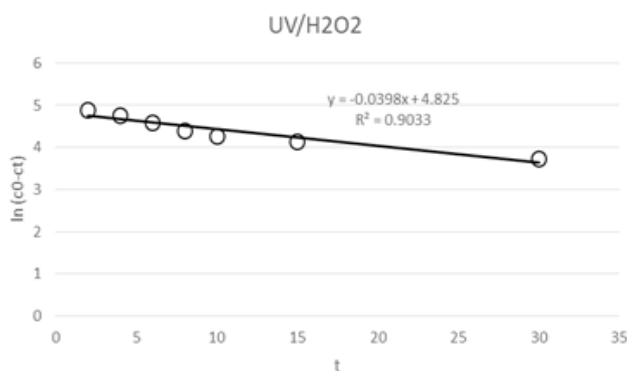
به‌منظور بررسی اثر pH بر راندمان حذف ۴-کلروفنل، محلول ۶۴۰ میلی گرم بر لیتر آلائیند و غلظت بهینه پراکسید هیدروژن (۵۸۰ میلی گرم بر لیتر) با pH متفاوت (۳، ۷ و ۱۰) تماس داده شد و pH با استفاده از سود و اسید سولفوریک ۱۰ نرمال تنظیم گردید. تغییرات راندمان حذف ۴-کلروفنل به عنوان تابعی از pH محلول در نمودار ۲ ارائه شده است. مطابق با این نمودار با کاهش pH، راندمان حذف ۴-کلروفنل افزایش می‌یابد؛ به نحوی که در محیط اسیدی (pH=۳) دارای بیشترین راندمان حذف می‌باشد.

#### بررسی تأثیر غلظت اولیه ۴-کلروفنل

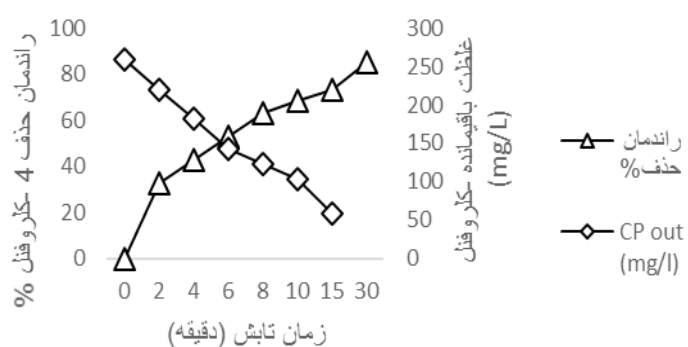
به‌منظور بررسی غلظت اولیه ۴-کلروفنل بر راندمان حذف، غلظت‌های متفاوتی از ۴-کلروفنل در محدوده ۶۴، ۱۲۸، ۱۹۰ و ۳۸۰ میلی گرم بر لیتر در شرایط بهینه پراکسید هیدروژن،



نمودار ۳: راندمان حذف ۴-کلروفنل با استفاده از فرایند  $\text{UV}/\text{H}_2\text{O}_2$  در غلوت‌های مختلف آلینده پس از زمان تابش ۳۰ دقیقه ( $\text{pH}=3$  میلی گرم بر لیتر؛  $580 \text{ mg/l} = \text{H}_2\text{O}_2$ )



نمودار ۴: مدل سینتیک درجه یک کاذب تجزیه ۴-کلروفنل در فرایند  $\text{UV}/\text{H}_2\text{O}_2$  در شرایط بهینه (غلوت ۴-کلروفنل = ۳۸۰ میلی گرم بر لیتر؛  $\text{pH}=3$  میلی گرم بر لیتر؛  $580 \text{ mg/l} = \text{H}_2\text{O}_2$ )



نمودار ۵: راندمان حذف ۴-کلروفنل با استفاده از فرایند  $\text{UV}/\text{H}_2\text{O}_2$  (غلوت ۴-کلروفنل = ۳۸۰ میلی گرم بر لیتر؛  $580 \text{ mg/l} = \text{H}_2\text{O}_2$  میلی گرم بر لیتر؛  $\text{pH}=3$ )

یافته‌های حاصل از این پژوهش با نتایج به دست آمده از پژوهش دانشور و همکاران که با تابش فرابنفش و پراکسید هیدروژن به طور مجزا انجام شد، مطابقت دارد. از آنجایی که عامل اصلی تجزیه در محلول‌های پراکسید هیدروژن رادیکال آزاد هیدروکسیل است، توسط اشعه فرابنفش و پراکسید هیدروژن به تنها بی نمی‌تواند به اندازه کافی رادیکال هیدروکسیل تشکیل شود [۲۶].

### تأثیر غلظت پراکسید هیدروژن

از ودون پراکسید هیدروژن در بیشتر موارد منجر به افزایش نرخ اکسیداسیون فتوشیمیایی می‌گردد. به منظور حفظ کارایی  $H_2O_2$  اضافه شده، انتخاب غلظت  $H_2O_2$  متناسب با نوع و غلظت آلاینده ضرورت دارد. در پژوهش حاضر با افزایش غلظت پراکسید هیدروژن در گستره ۳۴ تا ۱۷۰۰ میلی‌گرم بر لیتر در غلظت ۶۴۰ میلی‌گرم بر لیتر  $-4$ -کلروفنل و pH طبیعی، راندمان حذف افزایش یافت؛ اما افزایش غلظت  $H_2O_2$  بیشتر از ۵۸۰ میلی‌گرم بر لیتر باعث کاهش راندمان حذف شد که دلیل آن ممکن است ناشی از این باشد که در غلظت‌های بالای پراکسید هیدروژن، این ترکیب به عنوان جمع‌کننده رادیکال‌های آزاد عمل می‌کند؛ بنابراین باعث کاهش رادیکال هیدروکسیل و افت تجزیه ماده  $-4$ -کلروفنل طی زمان خواهد شد؛ در نتیجه، آب اکسیژن به عنوان ازین‌برنده رادیکال‌های هیدروکسیل (از طریق ترکیب مجدد رادیکال‌های هیدروکسیل) عمل نموده و کارایی حذف را کاهش می‌دهد [۲۷-۳۱]. در این زمینه، در مطالعه‌ای که در ارتباط با یک ماده آلی انجام شد، اثرات بازدارندگی  $H_2O_2$  مازاد مشاهده گردید؛ به طوری که در غلظت پراکسید هیدروژن  $4$  درصد، میزان اکسیداسیون ماده آلی به حدود  $70$  درصد کاهش یافت [۳۲]. همچنین در مطالعه‌ای که در سال  $2010$  توسط صید محمدی و همکاران در مورد تجزیه  $-4$ -کلروفنل با استفاده از فرایند فتون/ اولتراسونیک انجام شد،

از  $30$  دقیقه به  $33$  میلی‌گرم بر لیتر در خروجی رسید که این امر نشان‌دهنده  $84/69$  درصد معدنی‌سازی می‌باشد.

مقایسه سرعت واکنش فرایندهای UV به تنها بی  $H_2O_2$  و  $UV/H_2O_2$

فرایند UV و پراکسید هیدروژن هریک به تنها بی به اندازه کافی قادر به تشکیل رادیکال آزاد هیدروکسیل نمی‌باشد؛ از این رو، دارای ثابت سرعت واکنش پایین‌تری نسبت به فرایند  $UV/H_2O_2$  هستند و نیاز به زمان واکنش بالاتری برای تجزیه آلاینده دارند (جدول ۲).

جدول ۲: ضرایب ثابت سینتیکی حذف  $-4$ -کلروفنل در فرایندهای  $UV/H_2O_2$  و  $H_2O_2$ ، UV

$R^2$	$T_{1/2}(\text{min})$	$K(\text{min}^{-1})$	Process
.7413	>۳۰	.0004	UV alone
.3221	>۳۰	.00025	$H_2O_2$ alone
.9033	<۶	.0398	$UV/H_2O_2$

### بحث و نتیجه‌گیری

در این مطالعه مشخص شد که بازده حذف آلاینده به دلیل مقاومت  $-4$ -کلروفنل در برابر تابش امواج UV و  $H_2O_2$  به تنها بی کمتر از فرایند  $UV/H_2O_2$  می‌باشد. ترکیب امواج فرابنفش با پراکسید هیدروژن باعث تولید سریع‌تر رادیکال‌های هیدروکسیل شده و منجر به افزایش سرعت واکنش تجزیه آلاینده می‌گردد [۲۵]. بر مبنای نتایج، بازده بهینه حذف  $-4$ -کلروفنل توسط فرایند  $UV/H_2O_2$  در غلظت  $580$  میلی‌گرم بر لیتر پراکسید هیدروژن،  $pH=3$  غلظت اولیه  $380$  میلی‌گرم بر لیتر  $-4$ -کلروفنل و زمان تماس  $30$  دقیقه حاصل گردید.

بیشترین راندمان حذف فل را دارد که این مهم با نتایج مطالعه حاضر مخوان می‌باشد [۳۷].

#### بررسی تأثیر زمان تماس

زمان واکنش به عنوان زمان مورد نیاز برای رسیدن به اهداف مورد نظر در یک فرایند تصفیه، یکی از متغیرهای مهم به منظور طراحی و راهبری یک فرایند اکسیداسیون محسوب می‌شود [۳۸-۴۱].

مطابق با نمودار ۱ با افزایش زمان تماس، راندمان حذف آلاندنه افزایش می‌یابد که علت آن این واقعیت است که افزایش زمان باعث افزایش روند اکسایش و کاهش تولید رادیکال‌های مختلف از جمله رادیکال هیدروکسیل می‌شود؛ بنابراین آلاندنه با سرعت بیشتری تجزیه می‌گردد [۴۲]. در پژوهشی که Lin و همکاران در مورد تجزیه فل با استفاده از پرسولفات فعال شده با التراسوئیک انجام دادند، دریافتند که با افزایش زمان تماس، بازده حذف فل افزایش خواهد یافت [۴۳].

#### بررسی تأثیر غلظت‌های اولیه ۴-کلروفنل

همان‌طور که مشاهده می‌شود با افزایش غلظت ماده ۴-کلروفنل، سرعت واکنش کاهش یافته است؛ به صورتی که سرعت واکنش برای غلظت ۳۸۰ میلی گرم بر لیتر ماده ۴-کلروفنل، بیشتر از سرعت واکنش مربوط به غلظت ۶۴ میلی گرم بر لیتر می‌باشد. علت کاهش راندمان فل زدایی و تجزیه ۴-کلروفنل در غلظت‌های بالاتر این است که با افزایش غلظت ۴-کلروفنل، نفوذ فوتون‌های نوری UV به داخل محلول کمتر می‌شود و به دنبال کاهش نفوذ این فوتون‌ها، تجزیه پراکسید هیدروژن به رادیکال‌های هیدروکسیل کاهش می‌یابد. بدین ترتیب هرچه بر میزان غلظت ماده ۴-کلروفنل افزوده شود، نفوذ فوتون‌های UV و به دنبال آن تولید رادیکال‌های هیدروکسیل کمتر شده و راندمان حذف کاهش خواهد یافت [۴۳]. نتایج سایر مطالعات نیز نشان‌دهنده این مطلب هستند که با افزایش

گزارش گردید که افزایش غلظت پراکسید هیدروژن به عنوان عامل اکسیدکننده، تا حد معینی سرعت واکنش را افزایش می‌دهد و زمانی که از آن حد معین بیشتر گردد، اثری معکوس در حذف آلاندنه دارد [۱].

ملکوتیان و همکاران نیز در سال ۲۰۱۷ طی مطالعه‌ای تخریب ۴-کلروفنل به وسیله فرایند اکسیداسیون پیشرفتی به روش پراکسون در غلظت‌های مختلف پراکسید هیدروژن (۰/۱، ۰/۰۱، ۰/۰۰۱، ۰/۰۰۵ و ۰/۰۰۵ مولار) را مورد بررسی قرار دادند و به این نتیجه رسیدند که غلظت ۰/۰۰۱ مولار بهترین بازده را در حذف ۴-کلروفنل دارد [۳۳].

#### بررسی تأثیر pH

با توجه به اهمیت بالای pH در فرایند  $H_2O_2$  و یونیزه شدن ترکیبات آلی، در این مطالعه تأثیر pH در مقادیر مختلف در غلظت بهینه پراکسید هیدروژن (۵۸۰ میلی گرم در لیتر) در زمان واکنش ۳۰ دقیقه مورد بررسی قرار گرفت. همان‌طور که در نمودار ۲ نشان داده شده است، بیشترین راندمان حذف مربوط به محیط اسیدی می‌باشد که دلیل این امر افزایش یافتن خاصیت آب‌دوستی ترکیبات واسطه در pH اسیدی است. علاوه براین، رادیکال‌های هیدروکسیل در محیط اسیدی به عنوان اکسیدان غالب عمل نموده و خاصیت اکسیدکننگی بیشتری خواهد داشت؛ در حالی که در شرایط قلیایی، رادیکال هیدروکسیل از حداکثر توان اکسیدکننگی خود برخوردار نمی‌باشد [۳۴-۳۶].

با توجه به نمودار ۲ در غلظت ۶۴۰ میلی گرم بر لیتر ۴-کلروفنل، با استفاده از پراکسید هیدروژن با غلظت ۵۸۰ میلی گرم بر لیتر و pH محیط برابر با ۳، پس از ۳۰ دقیقه تابش اشعه UV راندمان حذف ۴-کلروفنل معادل ۸۳/۲۵ درصد به دست می‌آید. در این راستا، در مطالعه یوسفی و همکاران که در سال ۲۰۱۷ به بررسی حذف پاراکلروفنل با استفاده از فرایند الکتروفوتون و  $UV/TiO_2$  پرداختند، گزارش گردید که pH=۳

یک کاذب، مدل مناسبی برای توصیف سرعت واکنش می‌باشد و ثابت سرعت واکنش با افزایش غلظت  $4\text{-کلروفنل}$  کاهش می‌یابد. نتایج نشان دادند که سرعت تجزیه  $4\text{-کلروفنل}$  به وسیله فرایندهای اکسیداسیون پیشرفته به شدت افزایش می‌یابد. باید توجه داشت که سرعت اکسیداسیون به عوامل زیادی همچون غلظت پراکسید هیدروژن، مقدار pH، مدت زمان تابش فرابخش و غلظت اولیه آلانینه بستگی دارد. بر مبنای نتایج، شرایط بهینه برای بهترین حذف غلظت  $580\text{ میلی گرم بر لیتر}$  پراکسید هیدروژن،  $\text{pH}=3$  و غلظت آلانینه  $380\text{ میلی گرم بر لیتر در زمان واکنش }30\text{ دقیقه}$  می‌باشد.

این روش با داشتن مزیت‌هایی مانند کاهش هزینه‌ها، عدم نیاز به دستگاه‌ها و وسایل آزمایشگاهی گران‌قیمت، سادگی و قابلیت به کارگیری در مناطق مختلف بهمنظور جلوگیری از آلودگی محیط زیست می‌تواند به عنوان فرایند تصفیه نهایی یا تصفیه تکمیلی در زمان واکنش طولانی‌تر و یا تلفیق با سایر روش‌های تصفیه مانند روش بیولوژیکی به کار برده شود.

## قدرتانی

مطالعه حاضر برگرفته از پایان‌نامه مصوب با عنوان "بررسی مقایسه‌ای کارایی فرایند اکسیداسیون فتوشیمیایی توأم با پراکسید هیدروژن و پرسولفات در حذف  $4\text{-کلروفنل}$  از فاضلاب سنتیک" مصوب دانشگاه آزاد اسلامی واحد تهران غرب در سال ۱۳۹۳ با کد ۲۲۸۴۰۴۲۵۹۳۱۰۱۴ می‌باشد. لذا نویسنده‌گان مقاله از همکاری معاونت پژوهشی دانشگاه کمال تشکر را دارند.

غلظت آلانینه، سرعت واکنش کاهش یافته و به دنبال آن راندمان حذف نیز کاهش می‌یابد [۴۴-۴۶].

در این ارتباط، منشوری و همکاران در سال ۲۰۱۱ به بررسی حذف پراکلروفنل و عوامل مؤثر بر آن توسط فرایند شبه فنتون پرداختند و با مقایسه غلظت‌های مختلف پراکلروفنل به این نتیجه رسیدند که بین پارامترهای غلظت اولیه آلانینه  $10$ ،  $50$  و  $100\text{ میلی گرم بر لیتر}$  بیشترین راندمان حذف مربوط به غلظت  $50\text{ میلی گرم بر لیتر}$  می‌باشد [۴۷].

## بررسی میزان تجزیه $4\text{-کلروفنل}$ و معدنی‌سازی

در ارتباط با بررسی میزان تجزیه و معدنی‌سازی  $4\text{-کلروفنل}$  (نمودار ۵) نتایج نشان‌دهنده این مطلب هستند که پس از  $30\text{ دقیقه تابش UV}$  در شرایط بهینه، معدنی‌سازی به‌طور کامل صورت نگرفته و محصولات واسطه از  $4\text{-کلروفنل}$  تولید شده‌اند که به وجود آورنده TOC و دلیل عدم حذف کامل آن هستند؛ از این رو به منظور معدنی‌سازی بیشتر فرایند، یا باید زمان واکنش را طولانی‌تر کرد و یا از روش‌های تلفیقی مانند روش بیولوژیکی و غیره همراه با آن استفاده نمود [۴۸]. در نمودار ۵ نشان داده شده است که با افزایش تدریجی زمان تماس همراه با کاهش غلظت مواد آلی، میزان حذف TOC افزایش می‌یابد. در مطالعه Sharma که در ارتباط با حذف بیسفنول با استفاده از فرایند UV/PS انجام شد، بازده حذف TOC طی  $240\text{ دقیقه}$  معادل  $40\text{ درصد}$  و در زمان تماس  $360\text{ دقیقه}$  برابر با  $55\text{ درصد}$  گزارش گردید [۴۹].

## بررسی سینتیک تجزیه $4\text{-کلروفنل}$

نتایج حاصل از مطالعه سینتیک تجزیه  $4\text{-کلروفنل}$  توسط فرایند UV/HP (نمودار ۴) نشان می‌دهد که مدل سینتیک درجه

## References

- Mohammadi AS, Attar HM. P-chlorophenol oxidation in industrial effluent by ultrasonic/fenton technology. *J Water Wastewater* 2011; 22(4):80 (Persian).
- Movahedyan H, Seid Mohammadi AM, Assadi A. Comparison of different advanced oxidation processes degrading p-chlorophenol in aqueous solution. *Iran J Environ Health Sci Eng* 2009; 6(3):153-60 (Persian).
- Olmez-Hancı T, Arslan-Alaton I, Genc B. Bisphenol A treatment by the hot persulfate process: oxidation products and acute toxicity. *J Hazard Mater* 2013; 263:283-90.
- Jamshidi N, Torabian A, Azimi A, Nabi Bidhendi GR, Jafarzadeh MT. Investigation of phenol removal in aqueous solutions using advanced photochemical oxidation (APO). *J Water Wastewater* 2010; 72:24-9 (Persian).
- Du Y, Fu QS, Li Y, Su Y. Photodecomposition of 4-chlorophenol by reactive oxygen species in UV/air system. *J Hazard Mater* 2011; 186(1):491-6.
- Eslami A, Aghayani E, Joshani G, Hezarkhani N, Momayyezi MH, Djahed B, et al. Removal of parachlorophenol from the aquatic environment by recycled used tires as an adsorbent: Characterization, adsorption, and equilibrium studies. *J Adv Environ Health Res* 2014; 2(1):44-53.
- Gholizadeh A, Kermani M, Gholami M, Farzadkia M, Yaghmaeian K. Removal efficiency, adsorption kinetics and isotherms of phenolic compounds from aqueous solution using rice bran ash. *Asian J Chem* 2013; 25(7):3871-8.
- Kermani M, Pourmoghaddas H, Bina B, Khazaei Z. Removal of phenol from aqueous solutions by rice husk ash and activated carbon. *Pak J Biol Sci* 2006; 9(10):1905-10.
- Dianati Tilaki RM, Zazoli MA, Yazdani J, Alamgholilu M. Efficiency and kinetics studies of photocatalytic degradation of 4-chlorophenol from aqueous solutions by sunlight in the presence of zinc oxide nanoparticles. *J Health* 2015; 6(2):134-43 (Persian).
- Shahamat YD, Zazouli MA, Asgharnia H, Dehghanifard E. Evaluation of rapid purification of high concentrations of 2, 4-dinitrophenol in wastewater using catalytic ozonation with carboneus nanocomposite. *J Mazandaran Univ Med Sci* 2016; 25(133):138-49 (Persian).
- Dianati-Tilaki RA, Zazoli MA, Yazdani J, Alam Ghililu M, Rostamali E. Degradation of 4-chlorophenol by sunlight using catalyst of zinc oxide. *J Mazandaran Univ Med Sci* 2014; 23(2):196-201 (Persian).
- Akbari Jonoush Z, Farzadkia M, Dadban Shahamat Y, Esrafilizadeh A. Rapid removal of phenol from aqueous solutions by AC\_Fe3O4 nano-composite: kinetics and equilibrium studies. *J Mazandaran Univ Med Sci* 2015; 24(122):158-68 (Persian).
- Jimenez-Becerril J, Martinez-Hernandez A, Granados-Correa F, Zavala Arce RE. Methylene blue and 4-chlorophenol photodegradation using gamma-irradiated titanium oxide. *J Chem Soc Pak* 2013; 35(1):23-6.
- Astarki S, Jafari A. 2-chlorophenol removal from aqueous solutions using electro/persulfate process. *Yafteh* 2015; 17(3):26-37 (Persian).
- Akbari S, Ghanbari F, Moradi M. Bisphenol A degradation in aqueous solutions by electrogenerated ferrous ion activated ozone, hydrogen peroxide and persulfate: applying low current density for oxidation mechanism. *Chem Eng J* 2016; 294:298-307.
- Masschelein WJ, Rice RG. Ultraviolet light in water and wastewater sanitation. Florida: CRC Press; 2016.
- Gao YQ, Gao NY, Deng Y, Yang YQ, Ma Y. Ultraviolet (UV) light-activated persulfate oxidation of sulfamethazine in water. *Chem Eng J* 2012; 195:248-53.
- Oppenländer T. Photochemical purification of water and air: advanced oxidation processes (AOPs)-principles, reaction mechanisms, reactor concepts. New Jersey: John Wiley & Sons; 2007.
- Hashemi F, Godini H, Shams Khorramabadi G, Mansouri L. Assessing performance of walnut green hull adsorbent in removal of phenol from aqueous solutions. *Iran J Health Environ* 2014; 7(2):265-76.
- Gaya UI, Abdullah AH, Zainal Z, Hussein MZ. Photocatalytic treatment of 4-chlorophenol in aqueous ZnO suspensions: intermediates, influence of dosage and inorganic anions. *J Hazard Mater* 2009; 168(1):57-63.
- Malakootian M, Asadi M. Efficiency of fenton

- oxidation process in removal of phenol in aqueous solutions. *J Water Wastewater* 2011; 3:46-52 (Persian).
22. Federation WE, Association AP. Standard methods for the examination of water and wastewater. Washington, DC, USA: American Public Health Association (APHA); 2005.
  23. Krystynik P, Kluson P, Hejda S, Buzek D, Masin P, Tito DN. Semi-pilot scale environment friendly photocatalytic degradation of 4-chlorophenol with singlet oxygen species--direct comparison with H<sub>2</sub>O<sub>2</sub>/UV C reaction system. *Appl Cataly B Environ* 2014; 160:506-13.
  24. Liang HY, Zhang YQ, Huang Sb, Hussain I. Oxidative degradation of p-chloroaniline by copper oxinate activated persulfate. *Chem Eng J* 2013; 218:384-91.
  25. Daneshvar N, Rabbani M, Modirshahla N, Behnajady MA. Critical effect of hydrogen peroxide concentration in photochemical oxidative degradation of CI Acid Red 27 (AR27). *Chemosphere* 2004; 56(10):895-900.
  26. Daneshvar N, Khatayyi AR. Acid Blue 9 dye removal process modeling in the presence of hydrogen peroxide under UVC. Proceeding of 9th National Conference of Chemical Engineering; Tehran, Iran; 2004 (Persian).
  27. Bali U, Catalkaya E, Sengul F. Photodegradation of reactive black 5, direct red 25 and direct yellow 12 using UV, UV/H<sub>2</sub>O<sub>2</sub> and UV/H<sub>2</sub>O<sub>2</sub>/Fe<sup>2+</sup>: a comparative study. *J Hazard Mater* 2004; 114(1-3):159-66.
  28. Behnajady MA, Modirshahla N, Fathi H. Kinetics of decolorization of an azo dye in UV alone and UV/H<sub>2</sub>O<sub>2</sub> processes. *J Hazard Mater* 2006; 136(3):816-21.
  29. Kritikos DE, Xekoukoulotakis NP, Psillakis E, Mantzavinos D. Photocatalytic degradation of reactive black 5 in aqueous solutions: Effect of operating conditions and coupling with ultrasound irradiation. *Water Res* 2007; 41(10):2236-46.
  30. Mokhtari SA, Farzadkia M, Esrafil A, Kalantari RR, Jafari AJ, Kermani M, et al. Bisphenol A removal from aqueous solutions using novel UV/persulfate/H<sub>2</sub>O<sub>2</sub>/Cu system: optimization and modelling with central composite design and response surface methodology. *J Environ Health Sci Eng* 2016; 14(1):19.
  31. Rahmani Z, Kermani M, Gholami M, Jafari AJ, Mahmoodi NM. Effectiveness of photochemical and sonochemical processes in degradation of Basic Violet 16 (BV16) dye from aqueous solutions. *Iran J Environ Health Sci Eng* 2012; 9(1):14.
  32. Tehrani-Bagha AR, Amini FL. Decolorization of a reactive dye by UV-enhanced ozonation. *Prog Color Colorants Coat* 2010; 3:1-8.
  33. Malakootian M, Golmirzaee K, Loloei M. Study of the efficiency of proxone method as advanced oxidation process to remove 4-chlorophenol from aqueous solution. *J Ilam Univ Med Sci* 2017; 25(2):133-43 (Persian).
  34. Alnaizy R, Akgerman A. Advanced oxidation of phenolic compounds. *Adv Environ Res* 2000; 4(3):233-44.
  35. Peternel I, Koprivanac N, Kusic H. UV-based processes for reactive azo dye mineralization. *Water Res* 2006; 40(3):525-32.
  36. Kermani M, Farzadkia M, Esrafil A, Fallah Jokandan S, Yeganeh Badi M. Removal of catechol from aqueous solutions using catalytic ozonation by magnetic nanoparticles of iron oxide doped with silica and titanium dioxide: a kinetic study. *J Mazandaran Univ Med Sci* 2016; 26(142):139-54 (Persian).
  37. Tahergorabi M, Esrafil A, Kermani M, Shirzad-Siboni M. Application of thiol-functionalized mesoporous silica-coated magnetite nanoparticles for the adsorption of heavy metals. *Desalination Water Treat* 2016; 57(42):19834-45.
  38. Yousefi M, Ghanbari F, Zazouli MA, Ahmadi Moghaddam M, Akbari S. Investigation of the efficiency of electro-fenton and UV/TiO<sub>2</sub> processes for para-chlorophenol removal from aqueous solutions. *J Health* 2017; 7(5):600-10.
  39. Maleki A, Zandsalimi Y, Shahmoradi B, Rezaee R, Pordel M. Comparison of the efficiency of photochemical processes combined with UV/H<sub>2</sub>O<sub>2</sub> and UV/TiO<sub>2</sub> in removal of Acid Red 18 from aqueous solutions. *Sci J Kurdistan Univ Med Sci* 2012; 16(4):101-8 (Persian).
  40. Salimi M, Esrafil A, Gholami M, Jonidi Jafari A, Kalantary RR, Farzadkia M, et al. Contaminants of emerging concern: a review of new approach in AOP technologies. *Environ Monit Assess* 2017; 189(8):414.
  41. Bahrami Asl F, Kermani M, Farzadkia M, Esrafil A, Salahshour Arian S, Mokammel A, et al. Removal of metronidazole from aqueous solution using ozonation process. *J Mazandaran Univ Med Sci* 2015; 24(121):131-40. (Persian)

42. Kermani M, Bahrami Asl F, Farzadkia M, Esrafil A, Salahshour Arian S, Khazaei M, et al. Heterogeneous catalytic ozonation by Nano-MgO is better than sole ozonation for metronidazole degradation, toxicity reduction, and biodegradability improvement. *Desalination Water Treat* 2016; 57(35):16435-44.
43. Çatalkaya EC, Şengül F. Application of Box-Wilson experimental design method for the photodegradation of 36- bakery's yeast industry with UV/H<sub>2</sub>O<sub>2</sub> and UV/ H<sub>2</sub>O<sub>2</sub>/Fe(II) process. *J Hazard Mater* 2006; 128(2-3):201-7.
44. Lin YT, Liang C, Chen JH. Feasibility study of ultraviolet activated persulfate oxidation of phenol. *Chemosphere* 2011; 82(8):1168-72.
45. Piri R, Kermani M, Esrafil A. Using persulfate-based photochemical oxidation (UV/Na<sub>2</sub>S<sub>2</sub>O<sub>8</sub>) in eliminating 4-chlorophenol from aqueous solutions. *J Mazandaran Univ Med Sci* 2017; 27(147):358-70 (Persian).
46. Kermani M, Mohammadi F, Kakavandi B, Esrafil A, Rostamifasih Z. Simultaneous catalytic degradation of 2,4-D and MCPA herbicides using sulfate radical-based heterogeneous oxidation over persulfate activated by natural hematite ( $\alpha$ -Fe<sub>2</sub>O<sub>3</sub>/PS). *J Phys Chem Solids* 2018; 117:49-59.
47. Seid Mohammadi A, Asghari G, Almasi H. Removal of 2,4 Di-chlorophenol using persulfate activated with ultrasound from aqueous solutions. *J Environ Health Eng* 2014; 1(4):259-70 (Persian).
48. Manshuri M, Yazdanbakhsh AR, Sardar M, Mohamadi A. Factors affecting fenton process the removal of phenol from aqueous solution of parachloroethyl. *Health Safety* 2011; 3:381-8 (Persian).
49. Shokoohi R, Ebrahimzadeh L, Rahmani AR, Ebrahimi SJ, Samarghandi MR. Comparison of the advanced oxidation processes in phenol degradation in laboratory scale. *J Water Wastewater* 2009; 20(4):30-5 (Persian).
50. Sharma J, Mishra I, Kumar V. Degradation and mineralization of Bisphenol A (BPA) in aqueous solution using advanced oxidation processes: UV/H<sub>2</sub>O<sub>2</sub> and UV/S<sub>2</sub>O<sub>8</sub>(2-) oxidation systems. *J Environ Manage* 2015; 156:266-75.